

**PERFORMANCE JALAN MENGGUNAKAN URUGAN BIASA
DENGAN PERKUATAN GEOTEKSTIL DI ATAS TANAH
LUNAK**

MUHAMMAD ARSYAD, MT

Program Studi S1 Teknik Sipil Universitas Lambung Mangkurat

Latar Belakang

Banjarmasin dan daerah sekitarnya, kondisi wilayah yang keadaan tanah dengan daya dukung rendah, karena daerah terendam dan tanahnya sangat lunak. Kerusakan jalan yang lebih cepat pada kondisi tanah dasar lunak. Pada umumnya urugan menggunakan urugan biasa. Tapi umumnya dengan urugan di atas tanah lunak ini, jalan akan rusak dengan cepat, biaya *maintenance* tinggi. Diperlukan waktu antara 5-10 tahun baru badan jalan mulai stabil. Sudah ada contoh di tempat lain, urugan dengan material pilihan diperkuat dengan *geotextile* ternyata membuat badan jalan lebih stabil dan tahan lama, *maintenance* relatif rendah, tapi dengan menggunakan material pilihan dari lokasi lain, akan memerlukan biaya (transportasi, waktu), menimbulkan masalah lingkungan, dan juga kesulitan mendapatkan material. Jadi berangkat dari latar berlakang tersebut, perlu diuji coba melalui suatu penelitian.



Kondisi Jalan



Permasalahan

Adapun permasalahan pada penelitian yang akan dilaksanakan adalah sebagai berikut:

1. Bagaimanakan kinerja badan jalan menggunakan urugan biasa dengan perkuatan *geotextile* di atas tanah sangat lunak, seperti kondisi saat ini yang sering dilaksanakan?
2. Bagaimanakah korelasi antara tinggi timbunan dengan jumlah lapisan *geotextile*?

Tujuan

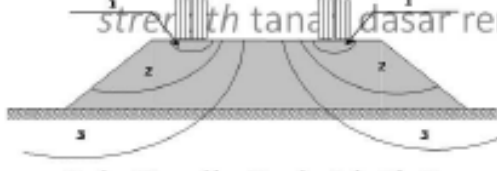
Beranjak dari permasalahan tersebut di atas, maka dapat ditentukan tujuan dari penelitian ini adalah:

1. Mendapatkan kinerja badan jalan menggunakan urugan biasa dengan perkuatan *geotextile* di atas tanah lunak, seperti kondisi saat ini yang sering dilaksanakan.
2. Mendapatkan korelasi antara tinggi timbunan dengan jumlah lapisan geotextile.

Kerangka Pemikiran Teoritis

Pada pelaksanaan urugan ada tiga kemungkinan yang terjadi:

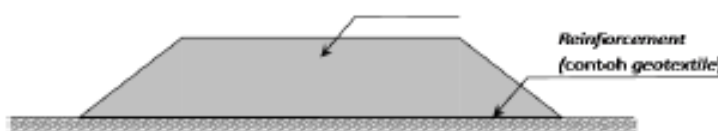
1. Kerusakan pada bagian jalur roda.
2. Kerusakan pada bagian lereng.
3. Kerusakan pada bagian bawah karena *shear strength* tanah dasar rendah.



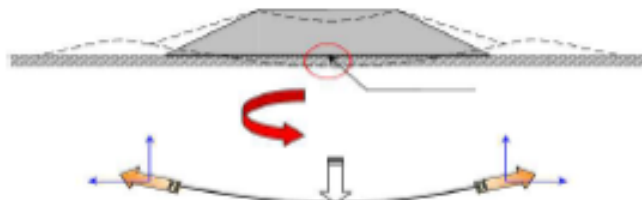
Gambar 1 Kemungkinan Kerusakan Badan Jalan Urugan

Kerusakan pada permasalahan 1 dan 2 dapat diatasi dengan menggunakan material pilihan, sedangkan kerusakan pada permasalahan 3 diatasi dengan *reinforcement* seperti halnya dengan *geotextile*, seperti pada gambar berikut

Selected material



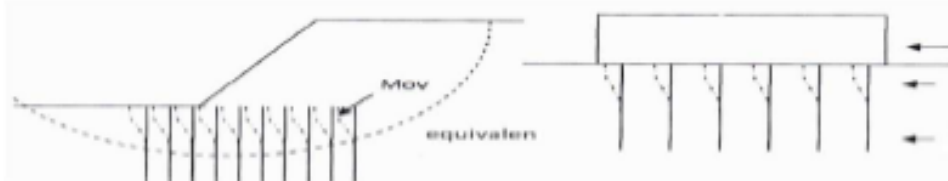
Money Perkembari Teknik Design Material Handout



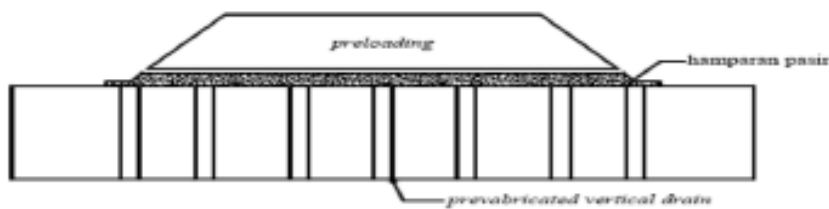
Studi Terdahulu

Beberapa metode untuk penanganan badan jalan di atas tanah sangat lunak, di antaranya studi terdahulu yang pernah dilaksanakan adalah

- Penggunaan Konstruksi Cerucuk untuk Meningkatkan Daya Dukung Tanah



- Preloading dengan Prefabricated Vertical Drains



Kegiatan Penelitian yang Telah Dilakukan

Kondisi penelitian	Metode lajuan penelitian	Analisa	Referensi
Tenggel (reinforcement) di sata pasir (lapangan, full scale), dengan dan tanpa geotekstil pengintai pada tanah basah	Definisi plastis di datar yang mendekati tanah.	Pengintai lengkap dan analisa menggunakan finite element method (FEM), model static lapangan, model analisis	(Begole et al., 2003)
Modeli tenggel sana tenggel dengan pertukar geotekstil (reinforcement) pada tanah basah	Modeli tenggel sana berhadap pertukar geotekstil yang terjadi	Analisa simili tenggel tenggel dengan menggunakan software Plaxis	(Kasim et al., 2013)
Bahan geotekstil jenis PET (Polyester) dan PP (Polypropylene) pertukar melalui cara pada tanah basah	Modeli stabilitas luring dari embankmen yang diperkuat dengan geotekstil	Analisa stabilitas luring berhadap embankmen dengan pertukar PET dan PP dengan menggunakan software GEOS	(Vash et al., 2013)
Pertukar melalui cara geotekstil	Modeli pengintai vertikal dan pengintai lateral	Analisa dengan finite element method (FEM)	(Li, Liu et al., 2008)
Geotekstil dengan pertukar dan tanpa pertukar geotekstil	Modeli pengintai vertikal dan pengintai lateral	Analisa pengintai di lapangan, data model laboratorium dan analisa numerik	(Ho-Chun Choi dkk (2002))

Penelitian yang Berkaitan Soilbag

No	Referensi	Varian Penelitian
1.	Kim et al., (2004)	Soilbag tidak bisa digunakan untuk memperkuat tenggel tetapi bagian bagian yang digunakan untuk membangun struktur memiliki ketahanan dekat
2.	Zhu et al., (2008)	Mengintai metode pengintai bantuan menggunakan soilbag dan menggunakan teknologi split box untuk studi karang yang memiliki struktur khas dan perbedaan antara ketahanan dan perlindungan luring tanah eksperimental jauh raya
3.	Huibers, (1999)	Soilbag, sebagai struktur perlindungan pantai barat, terbatas pada pantai berpasir, memiliki dibatasi dan secara hasil digunakan untuk dekat bantuan perlindungan dalam bentangan dan tenggel, dan juga sebagai elemen konstruktif untuk pengintai dan perlindungan gerusan bantuan luring, lith, armalis, pemecah gelombang dan pengintai gerusan pantai
4.	Rostello et al. (2002)	Dituliskan sejauh perlindungan jalin bantuan yang digunakan untuk soilbag dan karang menggunakan teknologi ini digunakan
5.	Koerner and Koerner (2006)	Described the field performance of three protective tube cases histories contrasted to the results from 12 hanging bag tests
		Dijelaskan kinetika bantuan tiga tipe sejauh karang gerus dilakukan dengan hasil dari 12 menggunakan bag bag
6.	Yamihara and Raul-Molina, (2007)	Dijelaskan perlindungan karang gerus dilakukan dengan struktur revetment yang dibentuk dari model tanah karang dan analisis
7.	Baardhoff et al. (2007)	The model static linear pada stabilitas hidrostik dari soilbag di Jerman yang disajikan dalam deli rekomendasi kerja berkenaan dengan soilbag, termasuk contoh aplikasi yang diberikan
8.	Sohn and Oh (2007)	Mengintai analisis stabilitas dengan dua elemen tanah dengan batas. Dalam studi mereka, hasil uji model dikaitkan dengan teknologi teknologi tentang gerus dan karang sejauh perlindungan pantai di pantai Young-Do di pantai timur dari Korea yang

9.	Ratio and Chameau (2007)	Mengoptimalkan teknologi dan teknologi untuk meningkatkan stabilitas embankment pada investasi
10.	Matonika and Liu (2001)	Seperti ini, embankment jangka panjang digunakan untuk membangun struktur permanen. Penelitian teknologi dalam membangun struktur permanen menggabungkan teknologi kereta api dengan teknologi pengujian tanah dengan embankment. Embankment ini tidak terpasang karena tidak ada sistem yang dilakukan
11.	Matonika and Liu (2001)	Dilengkapi kerangka dasar tanah pengujian oleh embankment, sebagai berikut:
		1. Daya tahan tanah basal dapat ditentukan dengan 5-10 kali menggunakan embankment. 2. Embankment masih dibutuhkan. Perilaku konstruksi bahan tidak dipertahankan, dan hanya buaya saja dapat dilakukan. 3. Embankment masih menggunakan kereta api menggunakan sistem atau bahan kimia. Kehilangan selama konstruksi sangat rendah. 4. Bahar-bahan yang terkandung dalam embankment bahan dapat antara batu pasir dan pasir. 5. Batu pasir memiliki kualitas tanah yang bagus, yang hampir sampai 300%, hampir setara dengan 1/10 kali dari batu basah. 6. Lapisan atas menggunakan getaran dapat dilengkapi kereta api menggunakan getaran oleh embankment. 7. Front end-tanah bisa dilengkapi oleh kereta api menggunakan getaran.
12.	Matonika (2000)	Mengoptimalkan teknologi dan teknologi pada jembatan yang biasanya menggunakan jika teknologi dan teknologi pada jembatan yang dilakukan.
13.	Shao et al. (2005) and Xu et al. (2001)	Embankment digunakan untuk mengatasi tanah di jalan raya di Provinsi Jiangxi, China. Hasil uji lapangan menunjukkan bahwa embankment tidak hanya menggunakan penyekatan tanah dan tanah stabilisator juga cukup baik.

Stabilitas Embankment di Atas Tanah Lunak

Analisa stabilitas timbunan dapat dilakukan dengan urutan sebagai berikut:

1. Menghitung besarnya momen penahanan (resista nt moment = MR)

$$MR = \tau \times R$$

dimana :

$$\tau = \text{gaya geser tanah lunak}$$

R = jari-jari bidang gelincir, didapat dari analisa stabilitas

2. Menghitung gaya geser τ , akibat tanah timbunan dengan langkah sebagai berikut

- Menghitung berat tanah timbunan diatas bidang longsor , W

$$W = At \times \gamma$$

dimana :

$$At = \text{luas tanah timbunan di atas bidang gelincir}$$

$$\gamma = \text{berat volume tanah timbunan}$$

Menghitung berat tanah timbunan diatas bidang longsor , W

$$W = At \times \gamma$$

dimana :

At = luas tanah timbunan di atas bidang gelincir

γ = berat volume tanah timbunan

Menghitung normal W terhadap bidang longsor, N

$$N = W \cos \alpha$$

dimana :

W = berat tanah timbunan di atas bidang longsor

$$\sigma_n = \frac{N}{L} \quad \square \text{ Menghitung tegangan normal, } \sigma_n$$

dimana :

N = normal W terhadap bidang longsor

L = panjang bidang longsor pada timbunan

Menghitung tegangan geser, τ

$$\tau = \sigma_n \tan \phi + C$$

3. Menghitung momen penahan

$$MR - awal = R [(\tau_1 \times AB) + (\tau_2 \times BC)]$$

dimana :

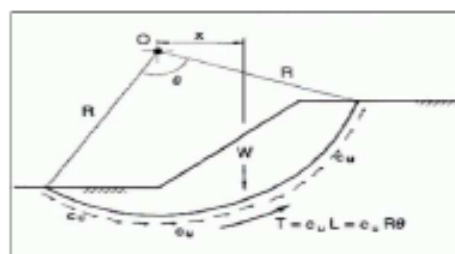
R = jari-jari bidang gelincir

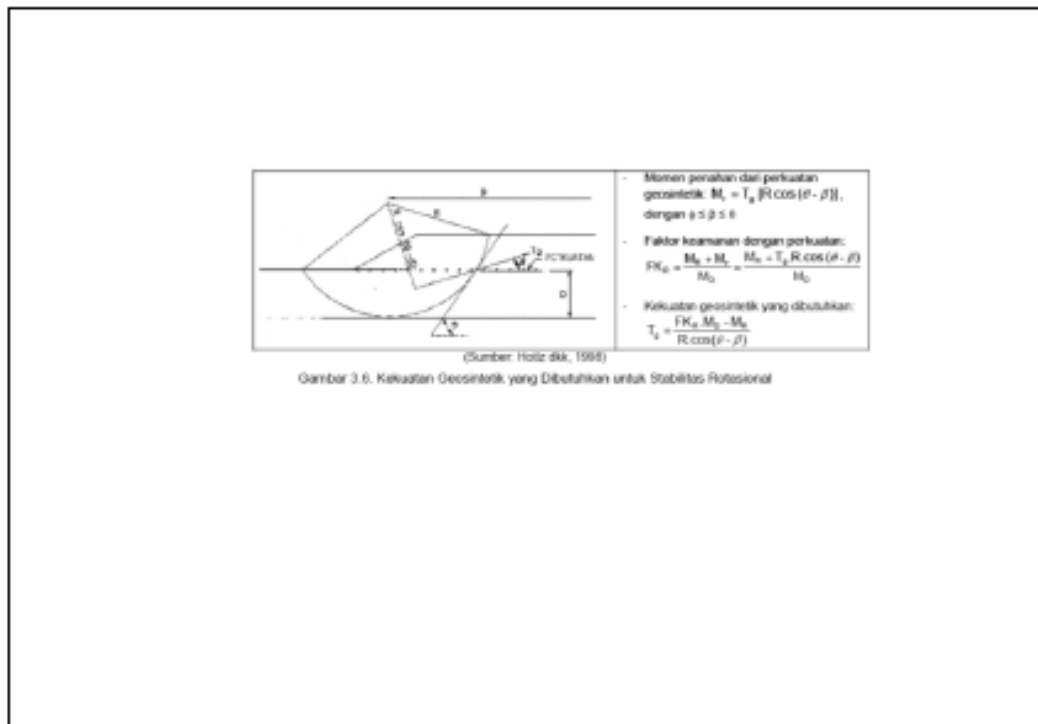
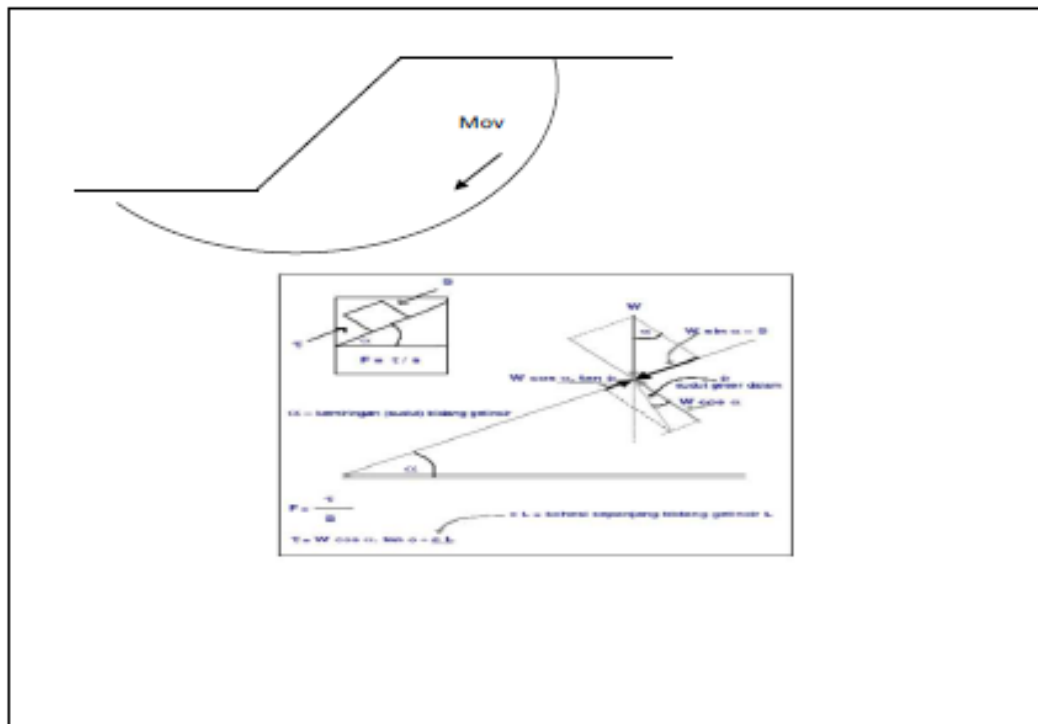
τ_1 = gaya geser pada tanah timbunan

τ_2 = gaya geser pada bidang gelincir

4. Menghitung momen dorong (MOV)

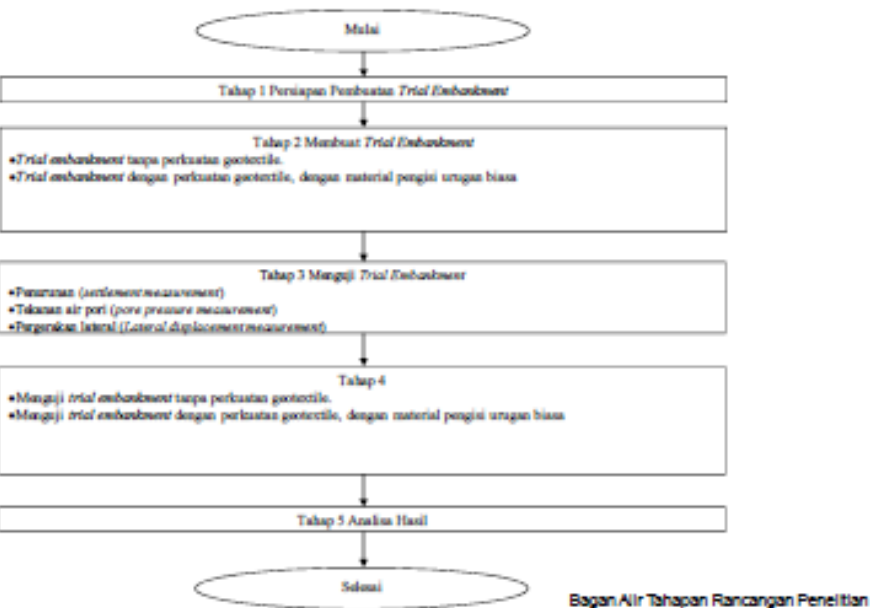
$$SF = MR - awal / MOV$$





Metode Penelitian

Dalam penelitian ini langkah-langkah yang akan dilakukan adalah sebagai berikut:



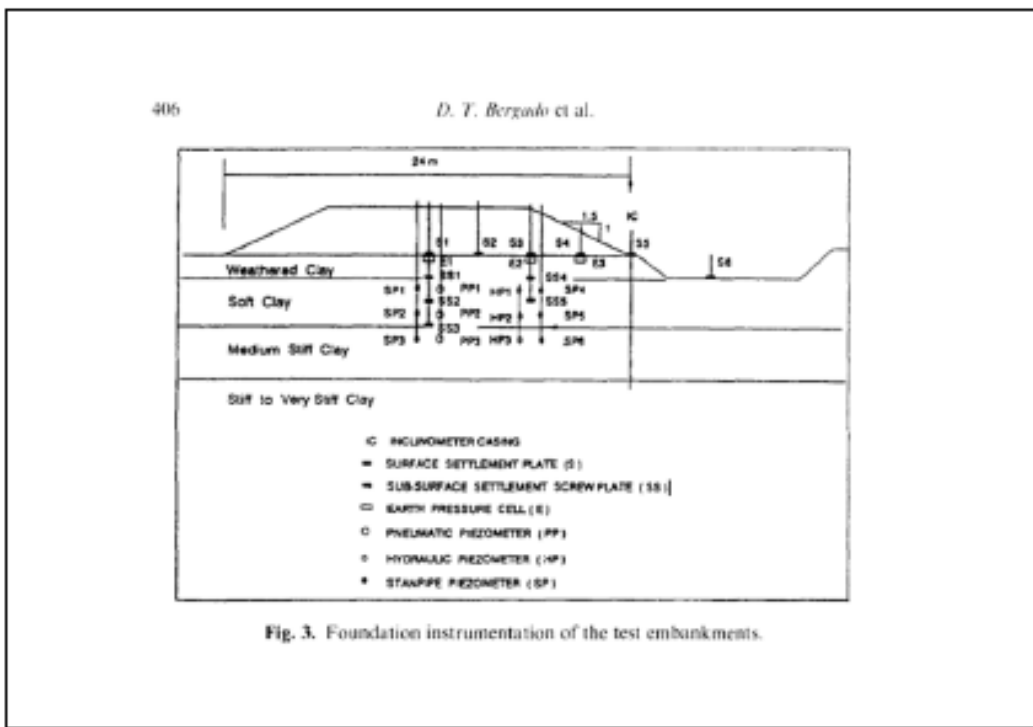
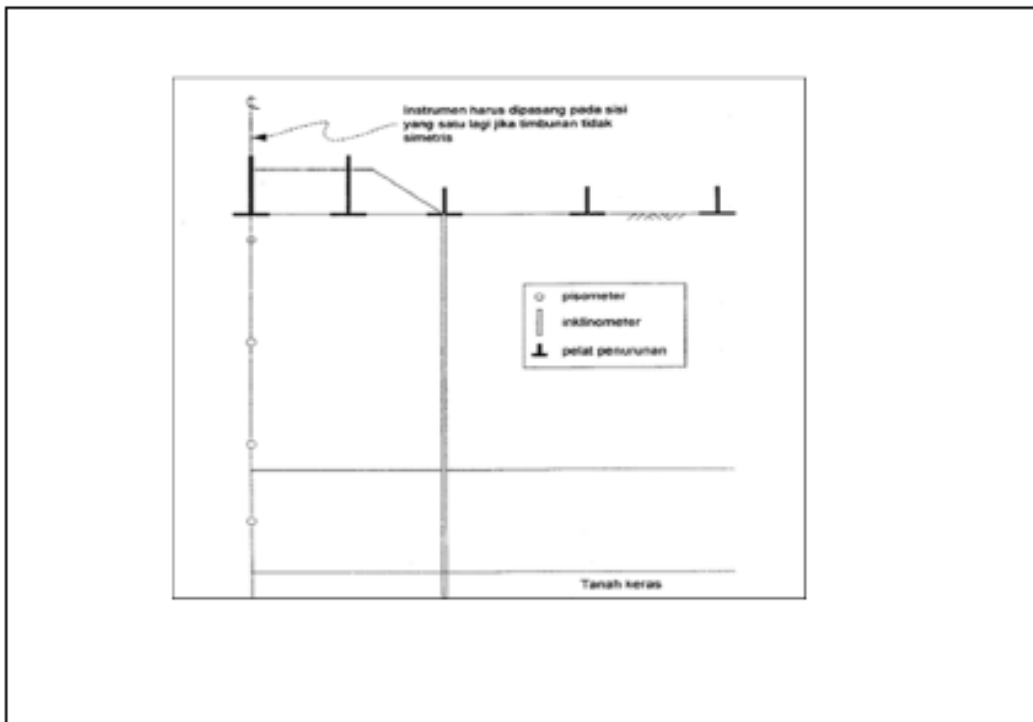
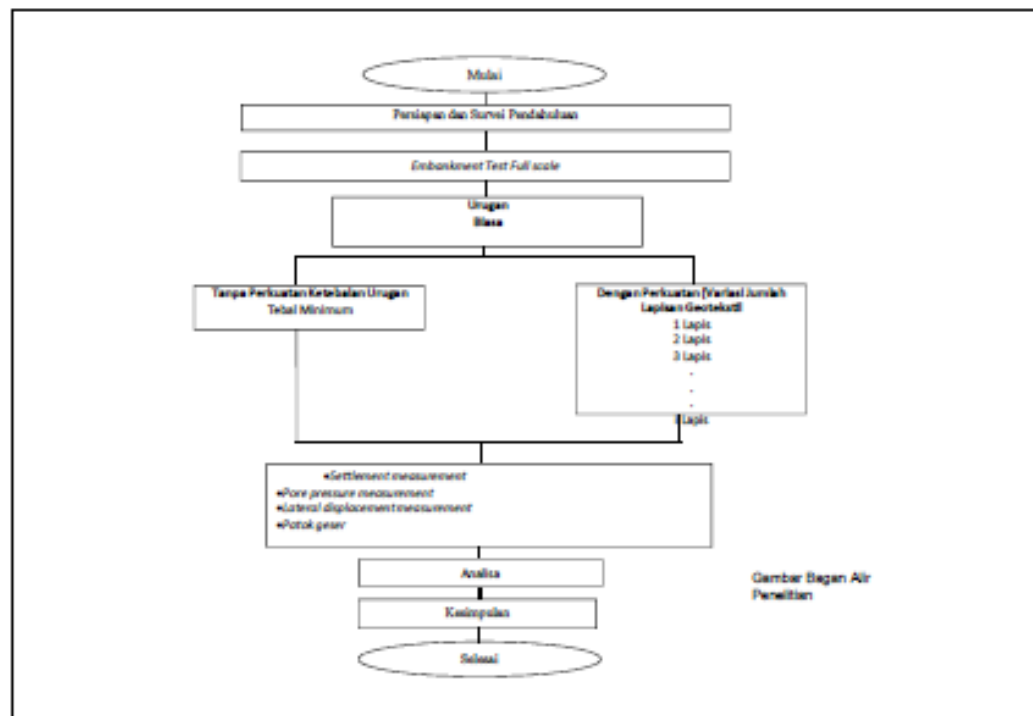
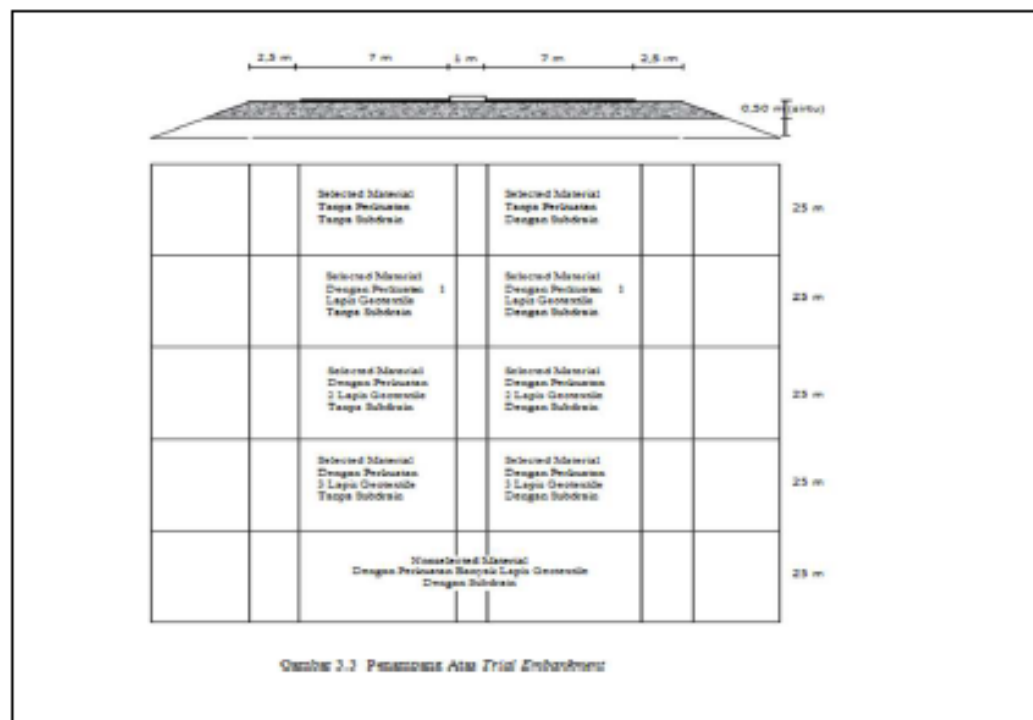


Fig. 3. Foundation instrumentation of the test embankments.



Penyelidikan Lapangan

Penyelidikan lapangan dilakukan untuk mendapatkan informasi lapisan tanah bawah permukaan, di mana data ini sangat diperlukan baik dalam perencanaan, penanggulangan maupun dalam pelaksanaan. Penyelidikan ini bertujuan untuk mengetahui jenis tanah, kedalaman lapisan tanah keras, kekuatan serta konsistensi pada setiap lapisan.

Pengujian Laboratorium

Tujuan dilakukan pengujian laboratorium adalah untuk memperoleh data mengenai sifat fisik maupun sifat teknik dari tanah yang bersangkutan. Pengujian laboratorium dilakukan terhadap contoh tanah, baik terganggu maupun tidak terganggu

Tabel Penyelidikan Lapangan

No.	Jenis penyelidikan	B standar acuan	Tujuan dan kegunaan
1.	Pemerbaikan topografi dan geologi lokal	SNI 03-2849-1992 (pemerbaikan geologi)	Gambarkan permukaan bawah lokasi proyek
2.	Pengeboran	ASTM D 2113-83 (1993)	a) Gambarkan visual dari bahan (stratigrafi bawah pada lokasi proyek) b) Lebih mudah air berasah c) Pengambilan contoh bahan dan jenis bahan
3.	Pengujian penetrasii standar (SPT)	SNI 03-4153-1998	a) Tingkat kepadatan dan konsistensi bahan b) Pengambilan contoh bahan terganggu untuk uji sifat-sifat indeks di laboratorium c) Untuk mengetahui efektivitas stabilisasi dengkel dengan membandingkan nilai N dari SPT sebelum dan setelah konstruksi
4.	Pengambilan contoh bahan tek terganggu (Spesifikasi Tabung Dinding Tipis untuk Pengambilan Contoh Tanah Berkhasi Tidak Terganggu)	SNI 03-4148-1998	a) Untuk pengujian laboratorium yaitu sifat-sifat indeks dan mekanik. b) Untuk mengetahui efektivitas stabilisasi dengkel dengan membandingkan sifat-sifat indeks dan mekanik sebelum dan setelah konstruksi
5.	Uji geser baling lapangan	SNI 08-2487-81	a) Kuat geser tek terhadap lapisan bahan lumak. b) Untuk mengetahui efektivitas stabilisasi dengkel dengan membandingkan kuat geser tek terhadap lapisan bahan sebelum dan setelah konstruksi
6.	Penyondiran, seccore mekanik maupun elektrik	SNI 03-2827-1992	a) Untuk mengetahui konsistensi bahan b) Stratigrafi bahan pada lokasi proyek c) Korelasinya dengan sifat mekanik d) Untuk mengetahui efektivitas stabilisasi dengkel dengan membandingkan tekanan konus sebelum dan setelah konstruksi

**Tabel Penyelidikan
Laboratorium**

No.	Jenis pengujian	Standar acuan	Tujuan dan kegunaan
1.	Pengujian sifat indeks: - Kepadatan - Berat jenis - Kadar air - Batas-batas Atterberg - Distribusi ukuran butir	- SNI 03-2828-1992 - SNI 03-1964-1990 - SNI 03-1965-1990 - SNI 03-1967-1990, SNI 03-1966-1990, SNI 03-3422-1994 - SNI 03-3423-1994	a) Dilakukan pada tahap sebelum konstruksi guna menentukan sifat awal tanah untuk perencanaan stabilisasi dangkal, juga untuk perencanaan campuran lapisan yang stabilisasi b) Dilakukan pada tahap setelah konstruksi untuk memegaksa peningkatan lapisan yang stabilisasi, juga efektivitas stabilisasi dangkal dengan membandingkan perubahan sifat indeks
2.	Pengujian sifat teknik: - Kuat tekan bebas - Konsolidasi	- SNI 03-3638-1994 - SNI 03-2812-1992	a) Kuat tekan bebas (q_u) untuk analisis stabilitas lereng dan daya dukung tanah b) Sifat konsolidasi, seperti angka pori awal (e_0), Indeks kompresi (C_c), koefisien konsolidasi (c_v) dan tegangan pra konsolidasi (P'_c), untuk memperkirakan penurunan tanah akibat pembebanan pada timbunan yang dimaksud c) Dilakukan pada tahap sebelum konstruksi untuk mementukan sifat awal tanah serta dilakukan pada tahap setelah konstruksi untuk mendapatkan hasil peningkatan dari stabilisasi dangkal dengan membandingkan perubahan kuat geser, angka pori dan tegangan pra konsolidasi

414 D. J. Regaldi et al.

MEASURED DATA

The main results obtained during construction of the CE and HGE embankments are given in Figs 13-17. The measured results are summarized as follows.

Lateral displacement

Lateral displacements of the two embankments are plotted together in Fig. 13. Up to the height of 3m, the displacements in both embankments were nearly the same, and the maximum displacement was observed at a depth of 3m. The maximum horizontal displacement of the CE embankment on 4 February 1993, the day before failure, was 17cm, and occurred at the ground surface. The displacement of the ground surface of the HGE embankment at 4.2m height was 6cm smaller than that of the CE embankment on the day before failure ($H = 4$ m). However, the maximum displacement of the embankment occurred at a depth of 2.5m with an amplitude of 19cm, and was about 3cm larger than that of the CE embankment. This event can be explained by the fact that (a) the vertical load acting on the ground surface of the HGE embankment was larger than that of the CE embankment because of the extra 0.2m height and the increased total unit weight due to rainfall during construction of the

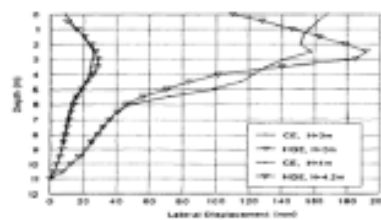


Fig. 13. Lateral displacements of CE and HGE embankments.

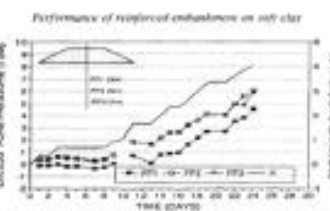


Fig. 14. Excess pore pressures in CE embankment foundation.

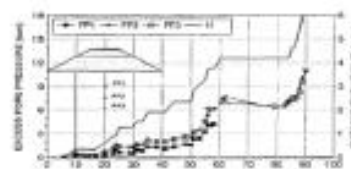


Fig. 15. Excess pore pressures in HGE embankment foundation.

HGE; and (b) the reinforcement has no significant effect on the depth of the soft clay layer.

Excess pore pressures

The excess pore pressures measured at depths of 0.5, 1.5, and 2.5 m of the CE and HGE embankment foundations are plotted against embankment height in Figs 14 and 15, respectively. The excess pore pressures in the HGE embankment foundation were larger than those in the CE embankment at the same embankment height, e.g. at the height of 4 m the excess pore pressures of 6 and 6.5 kPa were observed in the CE and HGE embankment foundations, respectively. This can be explained by the effects of rainfall during the HGE embankment construction.

Kesimpulan dari penelitian Bergado, 1994

CONCLUSIONS

- (1) The use of high-strength geotextiles as base reinforcement can considerably increase the ultimate height of an embankment on soft clay (up to 2 m or more). The rupture of the geotextile occurred at large deformation of foundation soil (average strain of 5%).
- (2) At stress levels lower than the limit state of an unreinforced embankment, the strains in the geotextile are controlled mainly by the lateral displacement of the weathered crust beneath the reinforcement. At low stress level, there were no differences in lateral displacements between the foundations of the CE and HGE embankments. When the embankment height was increased, the base reinforcement decreased the lateral movement of the ground. However, it seems that the geotextile has no significant effects on the lateral movements of the soft clay layer below the weathered crust.
- (3) The high-strength geotextile reinforcement can be used effectively on soft soils that can sustain large deformation (average strain of 5%) during construction.

Sumber Pustaka

D. T. Bergado, 1994, Performance of Reinforced Embankment on Soft Bangkok
Clay with High-Strength Geotextile Reinforcement

Departemen Pekerjaan Umum, 2009, Perencanaan dan Pelaksanaan
Perkuatan Tanah Dengan Geosintetik